

Ar_2^+

I-1435

A.P. (Ne^+ , Ar^+ , NeAr^+ , Ar_2^+)

I960

Fuchs R., Kaul W.

Z.Naturforsch., I960, I5a, N 2, I08-I15
(нем.)

Масс-спектро-метрическое обнаружение
молекулярного иона Ne Ar^+

РЖХим., I96I, I4Б50

Ar_2^+

B9P-1206-III

1960

I-1436 Kaul W.; Fuchs R.

(A.P)

"Z. Naturforsch.", 1960,
15a, N4, 326-35.

Mass-spectrum needle job.
called Ar e N_2 u N_2 ".

1962

Binding energy of Ar_2^+ from ion-scattering data. Robert D. Cloney, Edward A. Mason, and Joseph T. Vanderslice (Univ. of Maryland, College Park). "J. Chem. Phys." 36, 1103-4(1962). Elastic and inelastic scattering measurements of Ar^+ in Ar were made. A binding energy of 0.0035 e.v. is estd. The addn. of dispersion and induction energies as a 2nd-order correction increases this value to 0.056 e.v. The 3-electron-bond energy approxn. does not hold for Ar_2^+ .

Henry Leidheiser, Jr.

C.A. 1962-57-4

4047 6c

1962

Ar₂+

2Б32. Энергия связи Ar_2^+ из данных по рассеянию ионов. Cloney Robert D., Mason Edward A., Vanderslice Joseph T. Binding energy of Ar_2^+ from ion scattering data. «J. Chem. Phys.», 1962, 36, № 4, 1103—1104 (апл.)

Упругое и неупругое рассеяние Ar^+ в Ar определяются потенциальными кривыми Φ_u и Φ_g , соответствующими электронным состояниям $\text{Ar}_2^+ {}^2\Sigma_u$ и ${}^2\Sigma_g$. Оба состояния диссоциируют на продукты в основных состояниях и энергия взаимодействия равна $\Phi_u, g = -D_e \{ \exp 2a[1 - (r/r_e)] + 2\exp a[1 - (r/r_e)] \}$. При малых расстояниях отличие Φ_u от Φ_g невелико и обе кривые аппроксимируются выражением $\Phi_u, g = A \exp(-br)$. Параметры A и b определены из поперечных сечений упругого рассеяния и равны $5,38 \cdot 10^6$ эв и $5,09 \text{ \AA}^{-1}$ (справедливо от 2,47 до 3,39 Å). Обнаружено, что Q (Q — поперечное сечение обмена заряда) линейно зависит от $\lg W$ (W — энергия пучка ионов). Из этой прямой найдены величины aD_e и a/r_e , так что $a = 8$; $D_e = 0,0035$ эв; $r_e = 4,5 \text{ \AA}$ (справедливо от 3,54 до 5,06 Å). При учете дисперсионной и индукционной

2.1963.2.

энергии D_e повышается до 0,056 эв. Величина D_e во много раз меньше предсказанный Полингом для A_2^+ (1,2 эв) на основании идеи трехэлектронной связи, что отвергает представления о трехэлектронной связи.

М. Дяткина



Ar_2^+

Лариса И.К.,
Масленикова В.П.

1962

кин. и кам., 3, 305

Do

"Loaded" никое и первое
"ческое раковинное" нике-
зирующее газов.

(ав. H_3^+) I

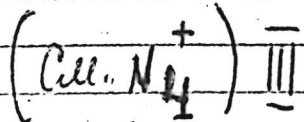
I962

Ar^+
2

Varney R.N.

Ionization phenomena in gases. Vol II
p.42-6

The formation and stability of molecular ions.



Г-3135

1963

Ar_2^+ (энергия связи) расчет

Cloney Robert D., Mason Edward A.,
Vanderslice Joseph T.

Binding energy of Ar_2^+ from ion
scattering data. "J. Chem. Phys.",
1962, 36, N 4, 1103-1104 (англ.)

РХ., 1963, 2, Б32

10

XI-2062

1963

 Ar_2^+

Munson M. S., Franklin J. Z.,
 Field F. J.

No.

J. Phys. Chem., 1963, 67, n° 7, 1542.

Place - синтезированное исследование молекуларных ионов кислотных рабочих с анионами HCO_3^- в растворе соли азотной.

(см. III He_2^+)

X-1964-6535

Br₂⁺ (A.P.) II XI 2070 1965

Becker P. M., Lampe F. W.;

H. Chum Phys., 1965, 42(II), 3857-63.

Mass-spectrometric study of the
kinetic isotope fractionation of diado-
bium isotopes.

Acronym: iodo.

10 CA, 1965, 63, II, 34c

Ar_2^+

(VI-2166) Niles F. S.,
Robertson W. W.

1965

Mr. R.

D₀

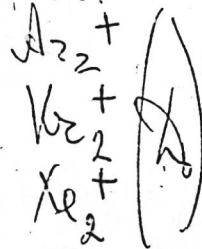
J. Chem. Phys., 1965, 43, N 3,
1076.

Предлагаемые атомные модели
с поверхностью с изогнутыми
границами.

(авт. Ильин)

1966

Метод
фотоиониза-
ции



24 Б904. Изучение образования двухатомных ионов в аргоне, криptonе и ксеноне методом фотоионизации. Huffman Robert E., Katayama Daniel H. Photoionization study of diatomic-ion formation in argon, krypton, and хепон. «J. Chem. Phys.», 1966, 45, № 1, 138—146 (англ.)

С помощью ионизац. камеры измерены зависимости тока фотоионизации (ФИ) газообразных $\text{X} = \text{Ar}$, Kr и Xe от длины волны вакуумного УФ-света (континуум спектра испускания конденсированного электрич. разряда в He и Ar ; $\lambda 580—1500 \text{ \AA}$). Обнаружено, что эти зависимости имеют максимумы при λ , соответствующих резонансным линиям поглощения газов. Поэтому ФИ приписана процессам типа: $\text{X} + h\nu \rightarrow \text{X}^*$ (1); $\text{X}^* + \text{X} \rightarrow \text{X}_2^+ + e^-$ (2). По величинам λ , соответствующим максимумам ФИ, идентифицировано ~ 20 возбужденных реагирующих состояний X^* для каждого газа. Пороги ФИ най-

(+2) 8

х. 1967. 24

дены равными (эв): $\text{Ar} 14,710 \pm 0,009$; $\text{Kr} 13,004 \pm 0,007$;
 $\text{Xe} 11,162 \pm 0,005$, что хорошо согласуется с измерениями
потенциалов появления ионов Ar_2^+ , Kr_2^+ и Xe_2^+ методом
электронного удара. На основании пороговых энергий
даны оценки энергий связей $\underline{\text{X}_2^+}$ (в эв): $\text{Ar} 1,049$; Kr
0,995, $\text{Xe} 0,967$. В случае $\text{X}=\text{Ar}$ для процессов $\text{X}^* \rightarrow \text{X}' +$
 $+ h\nu'$ (излучательная дезактивация) (3) и $\text{X}^* + \text{X} \rightarrow \text{X}'' +$
 $+ \text{X}$ (4) получено отношение констант скоростей $k_4/k_2 =$
 $= 0,13 - 2,5$ (для различных λ) и $k_2/k_3 = 3,6 \cdot 10^{-18} - 1,28 \cdot$
 $\cdot 10^{-16} \text{ см}^3/\text{атом}$. При исследованиях $\text{X}=\text{He}$, Ne , N_2 , H_2O
не удалось обнаружить пиков ФИ, связанных с образо-
ванием димерных ионов.

В. Е. Скурат

1966

Ar₂⁺
Kr₂⁺
Xe₂⁺

№ 5 д177. Фотоионизационное исследование образования двухатомного иона в Ar, Kr и Xe. Huffman, Rober, E., Katayama, Daniel H. Photoionization study of diatomic-ion formation in argon, krypton, and xenon. «J. Chem. Phys.», 1966, 45, № 1, 138—146 (англ.)

В вакуумной УФ-области наблюдался ионизационный ток при длинах волн дискретных линий поглощения пяти резонансных серий Ar, Kr, Xe. Ионизация обусловлена процессами столкновения атомов, находящихся в электронном возбужденном и основном состоянии, что приводит к образованию двухатомного иона и электрона. Найдено с помощью непрерывных Не- и Ar-источников возбуждения, что ионизация наблюдается в каждой линии поглощения при длинах волн меньших некоторого порога ионизации, который равен для Ar, Kr и Xe соот-

т 2

9.1967.52

☒

ветствию (в эв): $14,710 \pm 0,009$; $13,004 \pm 0,007$; $11,162 \pm 0,005$. Число найденных возбужденных состояний завышено по сравнению с результатами других исследований, а энергетич. значения потенциалов ионизации хорошо согласуются с потенциалами появления. Из порогов ионизации получены следующие нижние пределы для $D(X_2^+)$: Аг 1,049; Кг 0,995; Хе 0,967 (в эв). Выход ионизации в линиях поглощения Аг дает величины k_4/k_2 (отношение девозбуждающих столкновений к столкновениям, приводящим к образованию двухатомного иона) от 2,5 до 0,13 и величины tk_2 (произведения эффективного радиационного времени жизни и константы процесса образования иона) от $3,6 \cdot 10^{-18}$ до $1,28 \cdot 10^{-16} \text{ см}^3 \text{ атом}^{-1}$.

Библ. 36.

A2 +
2

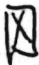
(90)

+1

103006u Mass-spectrometric study of ions in Xe, Kr, Ar, Ne at pressures up to 40 torr: termolecular formation of the rare-gas molecular ions. Bond dissociation energy of Ar_2^+ and Ne_2^+ . P. Kebarle, R. M. Haynes, and S. K. Searles (Univ. of Alberta, Edmonton, Can.). *J. Chem. Phys.* 47(5), 1684-91(1967)(Eng). The pos. ions obtained from α -particle irradn. of the rare gases Xe, Kr, Ar, Ne were studied at 5-40 torr. In all cases both the rare-gas mol. ion R_2^+ and the at. ion R^+ could be observed. The R_2^+/R^+ ratio could be decreased by the addn. of gases which react with R_2^+ and R^+ through charge transfer. This technique led to a detn. of the rate const. for the termol. reaction $\text{R}^+ + 2\text{R} \rightarrow \text{R}_2^+ + \text{R}$. The rate const. for Ar is $6 \times 10^{-32} \text{ cm.}^2 \text{ atom}^{-2} \cdot \text{sec.}^{-1}$. The ratio of Hornbeck-Molnar ionization to direct ionization in Ar was found equal to 0.4. Xe_2^+ is a major ion in Kr (at 20 torr) containing 10 ppm. Xe. The kinetics of the efficient formation of Xe_2^+ is examd. Xe_2^+ is formed by $\text{Kr}_2^+ + \text{Xe} \rightarrow \text{KrXe}^+ + \text{Kr}$ followed by $\text{KrXe}^+ + \text{Xe} \rightarrow \text{Xe}_2^+ + \text{Kr}$. The rate const. for these two reactions are estd. at $10^{-10} \text{ cm.}^3 \text{ mol.}^{-1} \cdot \text{sec.}^{-1}$. Both reactions must be exothermic. A schematic representation of the energies of formation of the Kr and Xe, homo- and heteronuclear ions is given. Changes in the charge-transfer

1987

XI - 1262



C.A. 1987. 07. 22

spectrum of ethylene with change of the concn. ratio of R_2^+ and R^+ are used to derive the ethylene charge-transfer spectrum due to R^+ and R_2^+ . The charge-transfer spectrum with R^+ is in agreement with that obtained from expts. using low pressures and near-thermal velocity R^+ . The charge-transfer spectrum due to R_2^+ is used in conjunction with the breakdown graph of ethylene to obtain the recombination energy, R.E., of R_2^+ . The bond dissociation energy of R_2^+ is then estd. from $D(R^+ - R) = I.P.(R) - R.E.(R_2^+)$. Values of 1.5-2 ev. are obtained for the dissociation energies of Ar_2^+ and Ne_2^+ .

RCJQ

XI- 1262

1967

8 Б75. Масс-спектрометрическое изучение ионов Xe, Kr, Ar, Ne при давлении до 40 мм: термолекулярное образование молекулярных ионов инертных газов. Энергия диссоциации Ar_2^+ и Ne_2^+ . Kebabc P., Haynes R. M., Seagles S. K. Mass-spectrometric study of ions in Xe, Kr, Ar, Ne at pressures up to 40 torr: termolecular formation of the rare-gas molecular ions. Bond dissociation energy of Ar_2^+ and Ne_2^+ . «J. Chem. Phys.», 1967, 47, № 5, 1684—1691 (англ.)

В масс-спектрометре под давл. 5—40 мм изучено взаимодействие $\text{R}^+ + 2\text{R} \rightarrow \text{R}_2^+ + \text{R}$ (I), $\text{R}_2^+ + \text{C}_2\text{H}_4 \rightarrow 2\text{R} + \text{C}_2\text{H}_4^+$ (где $\text{R} = \text{Xe}, \text{Kr}, \text{Ar}, \text{Ne}$, ионизируемые α -радиацией). $\text{Xe}_2^+/\text{Xe} \sim 20$ (20 мм). Ar и Ne имели примеси, поэтому Ar_2^+ и Ar^+ составляли только 40% от общего ионного тока. $\text{Ar}_2^+/\text{Ar}^+ \sim 5$ (20 мм). Константа

Х. 1968 . 8



р-ции 1 для Ar $6 \cdot 10^{-32} \text{ см}^3 \cdot \text{атом}^{-2} \cdot \text{сек}^{-1}$. Xe_2^+ является максимальным ионом при анализе Kr (20 ми), что обусловлено большой примесью Xe; константа скорости предполагаемых двух р-ций $\text{Kr}_2^+ + \text{Xe} \rightarrow \text{KrXe}^+ + \text{Kr}$, $\text{KrXe}^+ + \text{Xe} \rightarrow \text{Xe}_2^+ + \text{Kr}$ равна $10^{-10} \text{ см}^3 \cdot \text{моль}^{-1} \cdot \text{сек}^{-1}$. При различных парциальных давл. C_2H_4 спектр переноса заряда $\text{R}_2^+ (\text{R}^+) + \text{C}_2\text{H}_4 \rightarrow \text{C}_2\text{H}_4^+ + 2\text{R} (\text{R})$ меняется. По этому изменению спектра определена энергия рекомбинации (ЭР) R_2^+ и энергия диссоциации (ЭД) связи $\text{R}-\text{R}^+$ из ур-ния ЭД ($\text{R}=\text{R}^+$) = ПИ(R) - ЭР(R_2^+), где ПИ = потенциал ионизации. ЭД лежит в пределах 1,5—2 эв.

Ю. В. Денисов

1967

 Ar_2^+ Ar_6^+

7 Д206. Масс-спектрометрическое обнаружение полимерных соединений аргона в сопловых пучках. I. Общее поведение и равновесные концентрации димеров.
 Milne Thomas A., Greene Frank T. Mass spectrometric observations of argon clusters in nozzle beams. I. General behavior and equilibrium dimer concentrations. «J. Chem. Phys.», 1967, 47, № 10, 4095—4101 (англ.)

Приведены эксперим. данные о кинетике образования и поведения ван-дер-ваальсовых полимерных соединений аргона, наблюдаемых в сопловых пучках. Установка имела три камеры с диффер. откачкой и времяпролетным масс-спектрометром в качестве детектора. Ошибка в определении отношения интенсивностей ионов мономер/димер составляла менее 50%. Распределения полимерных соединений не очень чувствительны к энергии ионизиру-

09. 1968. № 70

ющих электронов в области 20—50 эв. Кривые эффективности ионизации для Ag_2^+ и Ag_6^+ имеют одинаковую форму. Потенциалы появления Ag_2^+ и Ag_6^+ примерно на 1 эв меньше, чем у Ag^+ . Обнаружено, что полимерные соединения рассеиваются из пучка при столкновениях так же, как и мономеры. Исследованы зависимости образования полимерных соединений от величины диаметра сопла и давления в источнике пучка. Исследовано влияние добавок CO_2 , N_2 , Ne , D_2 , O , O_2 , H_2O на образование димера. При этом наблюдалось образование димеров $(\text{CO}_2)_2^+$, $(\text{N}_2)_2^+$. Сравнение экспериментально измеренных конц-ий димера с рассчитанными теоретически указывает на равновесную природу образования димеров.

Л. А. Русин

He_2^+ , Ne_2^+ , Ar_2^+ , F_2^- , Cl_2^- , Cl_2 ($D_0, u.n.$;
occ. occ. paciem) 1971

Gilbert T.D., Wahl A.C.; #2749

J. Chem. Phys., 1971, 55, N11, 5247-5261
(area.)

($\text{Cu} \cdot \text{He}_2^+$) \equiv)
Single-configuration wavefunc-
tions and potential curves
for low-lying states of He_2^+ ,
 Ne_2^+ , Ar_2^+ , F_2^- , Cl_2^- and the
ground state of Cl_2 . 10 (1P)

Post Xmas, 1972, 8526

1973

Ar-Ar⁺

Zeng, Harry H., et al;

J. Chem. Phys.,

1973, 59(5), 2316-23.

(see N_4^+, \bar{I})

Arzt

1974.

Eipfreemannova d. 8

u gr.

наркозист

бг аэро. "Онмика и спиртоси."

1974, 36 (i), 61-68

(см. Li-уэйт III)

X1-4931

1974

str⁺
2
ref. sect.
partial

132856r Differential elastic scattering measurements of xenon⁺ on xenon and argon(+)-on argon in the 20-340-eV range. Jones, P. R.; Conklin, G. M.; Lorents, D. C.; Olson, R. E. (Stanford Res. Inst., Menlo Park, Calif.). *Phys. Rev. A* 1974, 10(1), 102-9 (Eng). Relative measurements are reported of the differential cross sections for the elastic scattering of Xe⁺ on Xe and Ar⁺ on Ar at energies 20-340 eV and lab. angles 1-15°. The data are presented in terms of the reduced cross section $\rho(\theta) \equiv \theta \sin\theta \sigma(\theta)$ and the reduced angle $\tau \equiv E \theta$. The ρ -vs.- τ plots for Xe⁺ on Xe show complex oscillations which were attributed primarily to phase interference in scattering from 3 coherent pairs of gerade-ungerade potential curves. The 6 states involved are the electronic fine-structure states of Xe₂⁺, 4 of which dissociate to Xe + Xe^{+(2P_{3/2})}, and the other 2 to Xe + Xe^{+(2P_{1/2})}. At larger values of τ , the elastic scattering pattern is further complicated by potential-curve crossings and excitation to higher states; at smaller τ , potential wells give rise to 2 rainbow peaks. Two difference potentials for Xe₂⁺ were detd. from the 2 oscillatory patterns in the data. The Ar⁺ on Ar data are in excellent agreement with scattering calcns. based upon ab initio computations of the Π_u and Π_g potentials of Ar₂⁺.

C.A. 1974
SI N24

50416 1346

Ch, Ph, TC, MGU

30063

(край.
наг. зи.)

1975

$\text{Ar}^+ + \text{Ar}$

* 45-8665

Sidis V. — Barat M., Dhuicq D.

Molecular study of $\text{Ar}^+ + \text{Ar}$ collisions.

"J. Phys. B: Atom. and Mol. Phys.", 1975,

8, N3, 474-493

(англ.)

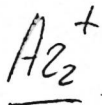
0347 ник

316 320

339

ВИНИТИ

1976



Carriugtoe A; et al.

Mol. Phys., 1976, 32,
N.I., 297 - 300.

(negative
ionogiesel)



(all H_2^+) \equiv

60306.3723
Ph,Ch,TC, MGU

Ar_2^+ (⁴²529) 1976
~~4-14129~~

Miller Thomas M., Ling Joyce H., Saxon Roberta P., Moseley John T.
Absolute total cross sections for the photodissociation of Ar_2^+ , Kr_2^+ , Xe_2^+ , KrN_2^+ ,
and KrN^+ from
565 to 695 nm.

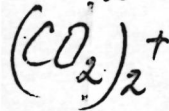
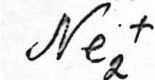
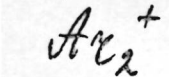
"Phys. Rev. A: Gen. Phys.", 1976, 13, N 6,
2171-2177 (AHTII.)

0678 MMK

646 655 670

ВИНИЧУГА

1976



*фото-
диссоц.*

5 Д227. Фотодиссоциация ионных димеров Ar_2^+ , Ne_2^+ и $(\text{CO}_2)_2^+$. Vestal M. L., Maclaire G. H. Photodissociation of the dimer ions Ar_2^+ , Ne_2^+ and $(\text{CO}_2)_2^+$. «Chem. Phys. Lett.», 1976, 43, № 3, 499—501. (англ.)

С помощью tandemного квадрупольного фотодиссоциативного масс-спектрометра, описанного авторами ранее (РЖФиз, 1975, ЗД289), изучены реакции фотодиссоциации диамеров Ar_2^+ , Ne_2^+ и $(\text{CO}_2)_2^+$. Сечение диссоциации Ar^{2+} сильно зависит от давления в ионизационной камере, изменяясь от $2 \cdot 10^{-18} \text{ см}^2$ при 0,1 мм рт. ст. до $6 \times 10^{-19} \text{ см}^2$ при 0,5 мм рт. ст. Этот эффект объясняется зависимостью вероятности перехода со связанныго $^2\Sigma_u^+$ -состояния в диссоциативное $^2\Pi_g$ -состояние от номера колебательного уровня связанныго состояния. Данный переход более вероятен для высоких колебательных уровней, которые, однако, сильнее релаксируют при повышении давления, что и приводит к уменьшению сечения. Обнаружено сильное увеличение сечения фотодиссоциации $(\text{CO}_2)_2^+$ в области $\lambda > 620$ нм. Предполагается, что этот процесс может быть важен для ионосфер, богатых CO_2 , как, например, у Марса.

Е. П. Смирнов

К45-162257

(42)

☒

0/1977 №5

1976

9 Б933. Фотодиссоциация димерных ионов Ar_2^+ ,
 Ne_2^+ и $(\text{CO}_2)_2^+$. Vestal M. L., Maucraig G. H.
Photodissociation of the dimer ions Ar_2^+ , Ne_2^+ and
 $(\text{CO}_2)_2^+$. «Chem. Phys. Lett.», 1976, 43, № 3, 499—501
(англ.)

На установке, состоящей из 3 последовательных квадрупольных масс-спектрометров, изучены спектры фотодиссоциации (ФД) ионов Ar_2^+ , Ne_2^+ и $(\text{CO}_2)_2^+$ и измерены абс. сечения σ ФД. Для ФД $\text{Ar}_2^+ + h\nu \rightarrow \text{Ar}^+ + \text{Ar}$ при $\lambda = 590 - 620$ нм $\sigma = (5 - 25) \cdot 10^{-19}$ см², уменьшаясь с ростом давл. в ионном источнике от 0,1 до 0,5 мм. Такое влияние давл. объяснено тем, что ФД происходит в основном из колебательно-возбужденных состояний $\text{Ar}_2^+(^2\Sigma_u^+)$, к-рые дезактивируются соударениями при повышении давл. Для ФД $\text{Ne}_2^+ + h\nu \rightarrow \text{Ne}^+ + \text{Ne}$ $\sigma = (3 - 5) \cdot 10^{-19}$ см², возрастаая с уменьшением λ от 620 до 590 нм. Для процесса $(\text{CO}_2)_2^+ + h\nu \rightarrow \text{CO}_2^+ + \text{CO}_2$ с ростом λ от 305 до 627 нм σ монотонно возрастает от $(1,8 \pm 0,4) \cdot 10^{-18}$ до $(25,0 \pm 1,0) \cdot 10^{-18}$ см². Сделан вывод, что ФД $(\text{CO}_2)_2^+$ может играть важную роль в ионосферах таких планет как Марс, где CO_2 является одним из главных компонентов.

B. E. Скурат

Ar_2^+
 Ne_2^+
 $(\text{CO}_2)_2^+$
фотодиссо-
циация

№ 42

Х. 1977

Н. Г.

Хис. 16251

Ar_2^+

1977

Garrington A., Sarre P.J.

Mol. Spectrosc. Proc. 6th,
Conf. Durham, 1976, London,
1977, 505-518.

Jeeckmans.
Cuckemans.

(
recd. H_2^+ ; $\underline{\text{III}}$)

1977

Ar₂+
 1 Д359. Фотофрагментарная спектроскопия и потенциальные кривые Ar_2^+ . Moseley J. T., Saxon R. P., Huber B. A., Cosby P. C., Abouaf R., Tadjeddine M. Photofragment spectroscopy and potential curves of Ar_2^+ . «J. Chem. Phys.», 1977, 67, № 4, 1659—1668 (англ.)

Для 14 длин волн в диапазоне 4579—7995 Å получены энергетич. распределения продуктов фотодиссоциации ионов $\text{Ar}_2^+({}^2\Sigma_u^+)$. Измерения выполнены с использованием коаксиальных и перпендикулярных ионного (3 кэв) и лазерного (Ar^+ - и Kr^+ -лазеры) пучков с поляризацией, соответственно перпендикулярной и параллельной направлению ионного пучка. В исследованной спектральной области наблюдаются переходы в диссоциативные состояния ${}^2\Pi_g$ и ${}^2\Sigma_g^+$ иона Ar_2^+ . На основании полученных данных с использованием результатов теоретич. расчетов определены потенц. кривые состояний ${}^2\Sigma_u^+$, ${}^2\Sigma_g^+$ и ${}^2\Pi_g$. Обсуждены: влияние спин-орбитального взаимодействия на форму потенциальных кривых, величина и спектральная зависимость сечения фотодиссоциации и угловое распределение фотофрагментов. Библ. 27.

В. С. Иванов

помещ.
Кравченко

Ф. 1978
N1

отмечи 5688

1977

Ar_2^+

4 Б1144. Фотофрагментная спектроскопия и потенциальные кривые иона Ar_2^+ . Moseley J. T., Saxon R. P., Нивет В. А., Cosby Р. С., Абуаф Р., Tadjeddine M. Photofragment spectroscopy and potential curves of Ar_2^+ . «J. Chem. Phys.», 1977, 67, № 4, 1659—1668 (англ.)

(\times)

Измерены распределения по кинетич. энергиям продуктов фотодиссоциации $\text{Ar}_2^+({}^2\Sigma_u^+) + h\nu \rightarrow \text{Ar}^+ + \text{Ar}$ (1), происходящей через диссоциативные состояния ${}^2\Pi_g$ и ${}^2\Sigma_g^+$, при 14 значениях длины волны в диапазоне от 4579 до 7993 Å. Измерения проводили с пучком ионов Ar_2^+ с энергией 3 кэв и излучением лазеров непрерывного действия, направленным в коаксиальном или поперечном направлении относительно ионного пучка и поляризованным соотв. перпендикулярно и параллельно направлению пучка. Получена энергия диссоциации $D_0(\text{Ar}_2^+) = 1,33 \pm 0,02$ эв, согласующаяся с известными лит. данными. Полученные данные исполь-

д. 1978, № 4

зованы для построения потенциальных кривых состояний ${}^2\Sigma_u^+$, ${}^2\Sigma_g$ и ${}^2\Pi_g^+$ иона Ar_2^+ . Обсуждается влияние спин-орбитального взаимодействия на потенциальные кривые. Получены расчетные зависимости сечений фотодиссоциации от длины волны (максимум $6 \cdot 10^{-17} \text{ см}^2$ достигается при 300 нм для перехода $\text{Ar}_2^+({}^2\Sigma_u^+, v=0) + h\nu \rightarrow \text{Ar}_2^+({}^2\Sigma_g^+) \rightarrow \text{Ar}^+ + \text{Ar}$) и угловые распределения фотопродуктов.

В. Е. Скурат

ЖА
ИПА
БЕР

Ar_2^+

commenc 5688

1977

homework
p-444

87: 159445s Photofragment spectroscopy and potential curves of diatomic argon(+). Moseley, J. T.; Saxon, R. P.; Huber, B. A.; Cosby, P. C.; Abouaf, R.; Tadjeeddine, M. (Mol. Phys. Cent., Stanford Res. Inst., Menlo Park, Calif.). *J. Chem. Phys.* 1977, 67(4), 1659-68 (Eng). Photofragment energy distributions were measured for the process $\text{Ar}_2^+(^2\Sigma_u^+) + h\nu \rightarrow \text{Ar}^+ + \text{Ar}$ using a 3 keV ion beam and cw lasers both coaxial and crossed with the ion beam, polarized, resp., perpendicular and parallel to the ion beam direction. Measurements were made at 14 wavelengths between 4579 and 7993 Å. Transitions to the dissociative states $^2\Pi_g$ and $^2\Sigma_g^+$ are obsd., as are the effects of the spin-orbit interaction in Ar_2^+ . The exptl. results are used along with theor. calcns. to det. the $^2\Sigma^+$, $^2\Sigma_g^+$, and $^2\Pi_g$ potentials. The effects of the spin-orbit interaction on the potential curves, the magnitude and wavelength dependence of the photodissociation cross section, and the angular distributions of the photofragments are considered.

C.A. 1977, 87, 120

Δr_2^+

No C.Y.

1977

Report 1976, LBL-5439, 185 pp.
Avail. NTIS. From ERDA
Energy Res. Abstr. 1977,
2(7), Abstr. No. 18523.

No



(cur. no) III

отмеч 5782 1977

Ar₂ +

расчет
использ
методом
переходов

5 Б129. Теоретическое определение диссоциативных сечений поглощения в Ar₂⁺. Stevens Walter J., Gardner Maureen, Kato Arnold, Julianne Paul. Theoretical determination of bound-free absorption cross sections in Ar₂⁺. «J. Chem. Phys.», 1977, 67, № 5, 2860—2867 (англ.)

В базисе слейтеровских функций проведены неэмпирич. расчеты кривых потенциальной энергии и моментов переходов в состояния $^2\Sigma_u^+$, $^2\Pi_g$, $^2\Pi_u$ и $^2\Sigma_g^+$ иона Ar₂⁺, связанных с ион-атомной асимптотой $^2P + ^1S$. Полученные данные использованы для теор. расчета диссоциативных сечений поглощения, соотв-щих переходам из связанныго основного $^2\Sigma_u^+$ -состояния в отталкивательные $^2\Pi_g$ - и $^2\Sigma_g^+$ -состояния. Для перехода $^2\Sigma_u^+ - ^2\Pi_g$ получено значение максимума сечения поглощения $2,6 \cdot 10^{-19}$ см² ($\lambda = 716$ нм, полуширина 185 нм при коми. т-ре). Переход $^2\Sigma_u^+ - ^2\Sigma_g^+$ более интенсивен ($\sigma_{\text{макс}} = 0,5 \cdot 10^{-16}$ см², $\lambda = 300$ нм, полуширина 75 нм при коми. т-ре). Полученные данные сравне-ны с имеющимися в лит-ре и отмечено, что расчетные сечения в ~3 раза превышают эксперим. значения.

С. Б. Осин

Х, № 5, 1978

статьи 5782

1977

АГ₂⁺

4 Д149. Теоретический расчет сечения поглощения для связанных-свободных переходов в Ar_2^+ . Stevens Walter J., Gardner Maureen, ~~Kago~~ Arnold, Julianne Paul. Theoretical determination of bound-free absorption cross sections in Ar_2^+ . «J. Chem. Phys.», 1977, 67, № 6, 2860—2867 (англ.)

М. Р. Алиев
Кафедра

глэмпирическим методом ССII МО ЛКАО в базисе слэтеровых орбиталей выполнен расчет кривых потенц. энергии электронных состояний ${}^2\Sigma_u^+$, ${}^2\Pi_g$, ${}^2\Pi_u$ и ${}^2\Sigma_g^+$ иона Ar_2^+ для значений межъядерного расстояния от 3 до 20 бор. Полученные потенц. кривые с учетом спин-орбитального взаимодействия использованы для расчета дипольных моментов и сечения поглощения переходов ${}^2\Sigma_u^+ - {}^2\Pi_g$, ${}^2\Sigma_u^+ - {}^2\Sigma_g^+$, ${}^2\Pi_u - {}^2\Pi_g$ и ${}^2\Pi_u - {}^2\Sigma_g^+ \text{Ar}_2^+$. Вычисленное значение сечения поглощения для полосы с центром при 716 нм (${}^2\Sigma_u^+ - {}^2\Pi_g$) ($2,6 \cdot 10^{-19} \text{ см}^2$) в 3 раза больше эксперим. значения. Предсказано интенсивное поглощение на переходе ${}^2\Sigma_u^+ - {}^2\Sigma_g^+$ ($\sigma \sim 0,5 \cdot 10^{-16} \text{ см}^2$) с максимумом при 300 нм и шириной 75 нм.

М. Р. Алиев

Ф.Н.Ч. 1988

ommata 5782

1877

$\sqrt{N_2}$ +

87: 175302y Theoretical determination of bound-free absorption cross sections in diatomic argon(+). Stevens, Walter J.; Gardner, Maureen; Karo, Arnold; Julienne, Paul (Laser Phys. Sect. 277.05, Natl. Bur. Stand., Boulder, Colo.). *J. Chem. Phys.* 1977, 67(6), 2860-7 (Eng). Ab initio calcns. were carried out for the potential energy curves and transition moments of the $^2\Sigma_u^+$, $^2\Pi_u$, and $^2\Sigma_g^+$ states of Ar_2^+ which arise from the $^3P + ^1S$ ion-atom asymptote. These data were used in a theor. calen. of the dissociative absorption cross sections from the bound $^2\Sigma_u^+$ state to the repulsive $^2\Pi_g$ and $^2\Sigma_g^+$ states. The $^2\Sigma_u^+ \rightarrow ^2\Pi_g$ transition, which is dominated by spin-orbit effects, has a max. absorption cross section of $2.6 \times 10^{-19} \text{ cm}^2$ centered at 716 nm with a full width at half-max. of 185 nm at room temp. The $^2\Sigma_u^+ \rightarrow ^2\Sigma_g^+$ transition is much stronger with a max. cross section of $0.5 \times 10^{-16} \text{ cm}^2$ centered at 300 nm with a full width at half-max. of 75 nm at room temp.

Rb. ecc.
facet

C.I. 1877. 87. 122

Ar_2^+

отмечено 6081

1977

6 Д508. Теоретические спектры поглощения Ne_2^+ , Ar_2^+ , Kr_2^+ и Xe_2^+ в ближней УФ-области спектра.
 Wadt Willard R., Cartwright David C., Cohen James S. Theoretical absorption spectra for Ne_2^+ , Ar_2^+ , Kr_2^+ , and Xe_2^+ in the near ultraviolet. «Appl. Phys. Lett.», 1977, 31, № 10, 672—674 (англ.)

Неэмпирическим методом с учетом конфигурац. взаимодействия рассчитаны спектры поглощения ионов Ne_2^+ , Ar_2^+ , Kr_2^+ и Xe_2^+ (переходы $I(1/2)_u \rightarrow II(1/2)_g$) для т-р газа 100, 300 и 600°К. Полученные спектры имеют близкую форму, отличаясь только сдвигом максимума поглощения от ≈ 260 нм у Ne_2^+ до ≈ 380 нм у Xe_2^+ . Рассчитанные энергии диссоциации для Ar_2^+ , Kr_2^+ и Xe_2^+ равны 1,19; 1,05 и 0,79 эв, что отличается на 0,1—0,2 эв от значений, измеренных фотоионизационным методом. Приведены данные расчета сечений поглощения ионами излучения KrF (248 нм), XeBr .

(+2) ■

φ, 1978 №

наго (+2) Kr_2^+ Xe_2^+

(282 нм)-, XeCl (308 нм)- и XeF (352 нм)-лазеров.
Отмечена сильная зависимость сечений от т-ры газа.
На основе полученных данных сделан вывод о целесо-
образности использования в XeF-лазере в качестве бу-
ферного газа Ne вместо Ar поскольку поглощение Ne_2^+
при $\lambda=352$ нм на порядок меньше, чем у Ar_2^+ . Показано
также, что конц-ия Xe_2^+ в плазме разряда в
XeF-лазере должна быть достаточно мала для опти-
мальной работы последнего. Библ. 37.

С. Л.

Ar_2 , (Ar_2^+)

отмечеи 6522 1978

Kr_2 ,

Kr_2^+

E_i , v_i

43

д. 1979
№ 2

С 2 Б 150. Фотоэлектронные спектры Ar_2 и Kr_2 и энергии диссоциации ионов димеров инертных газов. Dehmert P. M., Dehmert J. L. Photoelectron spectra of Ar_2 and Kr_2 and dissociation energies of the rare gas dimer ions. «J. Chem. Phys.», 1978, 69, № 1, 125—133. (англ.)

С разрешением ~ 20 мэв измерены возбуждаемые источником Не-I фотоэлектронные спектры (ФЭС) молекул Ar_2 и Kr_2 , образующихся в сверхзвуковом молекулярном пучке. Наблюдаемые в ФЭС Ar_2 полосы 15,55; 15,67; 15,87 и 15,99 эв отнесены к переходам $\text{Ar}_2(X^1\Sigma_g^+) \rightarrow \text{Ar}_2^+(A^2\Sigma_{(1/2)u}^+)$, $B^2\Pi_{(3/2)g}$, $C^2\Pi_{(1/2)u}$ и $D^2\Sigma_{(1/2)g}^+$; предполагается, что последнее состояние чисто отталкивающее. К аналогичным переходам отнесены полосы 13,76; 13,90; 14,57 эв в ФЭС Kr_2 (4-я полоса перекрывается с интенсивным атомным пиком $\text{Kr}^+{}^2P_{1/2}$). Определены энергии диссоциации Ar_2^+ и Kr_2^+ в указанных состояниях 1,33; 0,14; 0,10 эв и 1,15; 0,16; 0,4 эв соотв. Значения $D(B^2\Pi_{(3/2)g})$ и $D(C^2\Pi_{(1/2)u})$ выше расчитанных ранее методом КВ на 30%, а

$D(A^2\Sigma_{(1/2)u})$ на 10%. Путём согласования вычисленных факторов Франка—Кондона для переходов $\text{Ar}_2(\text{Kr}_2)$ - $X^1\Sigma_g^+ \rightarrow \text{Ar}_2^+(\text{Kr}_2^+) A^2\Sigma_{(1/2)u}^+$ с наблюдаемыми полосами ФЭС, расчитаны кривые потенциальной энергии Ar_2^+ и Kr_2^+ в состоянии $A^2\Sigma_{(1/2)u}^+$. Показано, что при больших межъядерных расстояниях ф-ция Морзе плохо описывает потенциальные кривые Ar_2^+ и Kr_2^+ в основном электронном состоянии. Полученные результаты сопоставляются с данными по ФЭС Xe_2 . В. М. Ковба

ос.
бпев

Ar_2^+

1978

decomps.
catalytic.

Michels H.H. et al
Jnl. J. Quantum Chem.,
1978, Quantum Biol. Symp.,
v12, 257 - 269



See. Ne_2^+ ; III)

Ar_2^+

1978

Michels H.H. et al

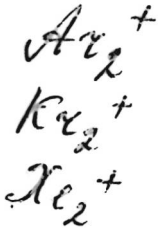
J. Chem. Phys., 1978, 69 (4),
5151-62.

опись
романов.
заправка.



(cav. Ne_2^+ ; \underline{II})

1978



дисперсионный
и кулоновский
ионный
ионный
ионный

типа

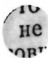
11 F25. Электронное строение ионов димеров благородных газов. I. Кривые потенциальной энергии и спектроскопические постоянные. Michels H. H., Hobbs R. H., Wright L. A. Electronic structure of the noble gas dimer ions. I. Potential energy curves and spectroscopic constants. «J. Chem. Phys.», 1978, 69, № 11, 5151—5162 (англ.)

Методом ССП- X_α рассеянных волн в модели перекрывающихся атомных сфер рассчитано электронное строение и потенциальные кривые основного и ряда возбужденных связанных и несвязанных состояний ионов (Ne_2^+) Ar_2^+ , Kr_2^+ и Xe_2^+ . Для каждого состояния каждого из ионов проводилась оптимизация как степени перекрывания сфер, так и обменного параметра α . Для сравнения потенциальные кривые ряда состояний Ar_2^+ рассчитаны неэмпирич. методом взаимодействия валентных конфигураций. Для каждого из связанных состояний исследованных ионов были вычислены спектроскопич. постоянные. Эффекты спин-орбитального взаимодействия учитывали в рамках А-С-связи. В ряду $\text{Ne}_2^+—\text{Xe}_2^+$ наблюдается определенная связь между

Х. 1979, № 11

изменениями значений энергий диссоциации и значениями равновесных межъядерных расстояний для основных состояний $A^2\Sigma^{+}_{1/2}u$. Энергии диссоциации в ряду $\text{Ne}_2^+ - \text{Xe}_2^+$ убывают от 1,31 до 1,0 эв. При этом межъядерные расстояния возрастают от 1,7 до 3,2 Å. В отсутствие спин-орбитального взаимодействия энергии диссоциации для всех ионов имеют примерно одинаковое значение $1,38 \pm 0,02$ эв. Потенциальные кривые, рассчитанные X_α -методом, сопоставлены с данными различных неэмпирич. расчетов. Качественно потенциальные кривые в различных расчетах согласуются между собой. В колич. отношении отличия между потенциальными кривыми в неэмпирич. расчетах и X_α -методе возрастают при уменьшении межъядерных расстояний.

И. А. Тополь



Ar_2^+

1978

Schmidt H.U. et al

publ.
recd.

Chem. Phys. 1978, 29,
N^t-2, 219-30 (aaa)



coll. $\text{He}_2^+ - \bar{H}$

$\text{Ar}^+ - \text{Ar}$

сечение
столкнов.

ф. 1978
N 11

11 Д113. Измерения в скрещенных пучках дифференциальных сечений упругого рассеяния и перезарядки при столкновениях $\text{Ar}^+ - \text{Ar}$ с низкой энергией. Vestal M. L., Blakley C. R., Furtach J. H. Crossed-beam measurements of differential cross sections for elastic scattering and charge exchange in low-energy $\text{Ar}^+ - \text{Ar}$ collisions. «Phys. Rev.», 1978, A17, № 4, 1337—1342 (англ.)

Измерены диффер. сечения столкновений $\text{Ar}^+ - \text{Ar}$ при четырех значениях энергии в Л-системе в диапазоне 2,7—20 эв и углах рассеяния 2—90° с помощью установки со скрещенными пучками. Пучок нейтральных атомов Ar создавался путем сверхзвукового истечения смеси H_2 и 7,8% Ar. Данные представлены в виде абс. диффер. сечений в Ц-системе в зависимости от относительной поступательной энергии движения частиц и от угла рассеяния в Ц-системе. Авторы отмечают, что представленные ими результаты и использование итерационной методики обращения позволили бы более точно, чем до сих пор, определить дальнодействующую часть потенциала $\text{Ar}^+ - \text{Ar}$ для существенного диапазона межъядерных расстояний. Предварительная интерпретация данных по радужному рассеянию дала для энергии диссоциации D_e состояния ${}^2\Sigma_{u+}$ иона Ar_2^+ значение $1,40 \pm 0,05$ эв.

Б. В. А.

Ar_2^+ (δe)

1978

89: 31111d Crossed-beam measurements of differential cross sections for elastic scattering and charge exchange in low-energy argon(+) - argon collisions. Vestal, M. L.; Blakley, C. R.; Futrell, J. H. (Dep. Chem., Univ. Utah, Salt Lake City, Utah). *Phys. Rev. A* 1978, 17(4), 1337-42 (Eng). Differential cross sections for Ar⁺-Ar collisions were measured at 4 lab. energies in the range 2.7-20 eV and lab. scattering angles from 2 to 90° using a crossed-beam app. Data are presented as abs. differential cross sections in the center-of-mass coordinate system as functions of relative translational energy and center-of-mass scattering angle. The data presented should be sufficient to allow rather precise detn. of the long-range portion of the Ar⁺-Ar interaction potentials. Preliminary interpretation of the rainbow scattering data gives a dissoci. energy D_e for the ${}^2\Sigma_u^+$ state of Ar₂⁺ of 1.40 ± 0.05 eV.

C.A. 1978, 89, NY

Аг₂⁺
Кт₂⁺
Хе₂⁺

1978

16 Б38. Электронные состояния Ag_2^+ , Kr_2^+ , Xe_2^+ . I. Потенциальные кривые с учетом и без учета спин-орбитального взаимодействия. Wadt Willard R. The electronic states of Ag_2^+ , Kr_2^+ , Xe_2^+ . I. Potential curves with and without spin-orbit coupling. «J. Chem. Phys.», 1978, 68, № 2, 402—414 (англ.)

Методом ССП в базисе сгруппированных гауссовых ф-ций с учетом поляризации. d ф-ций проведен расчет потенциальных кривых основных состояний молекул X_2 и низколежащих состояний типа ${}^2\Sigma_{g,u}^+$ и ${}^2\Pi_{g,u}$ ионов X_2^+ , где $\text{X}=\text{Ag}, \text{Kr}, \text{Xe}$. Результаты расчета нейтр. молекул сопоставлены с результатами применения модели электронного газа. Указанные молек. ионы рассчитаны также методом конфигурац. взаимодействия (КВ) в различных базисах МО с полным учетом одно- и двукратно возбужденных конфигураций, а также упрощенным вариантом метода КВ, в к-ром учитываются одно- и двукратно возбужденные конфигурации, отвечающие возбуждению с верхних занятых МО и с замещением на виртуальные орбитали не более одной занятой МО. Сравнение результатов показало, что ис-

*М.Н. Е.
расчет
помеш.
кривых*

(72) 14

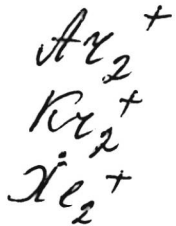
Х. 1978, № 16

пользование этого варианта метода КВ допустимо для правильного описания низколежащих возбужденных состояний молекул. Этот же подход был использован для расчета потенциальных кривых систем X_2^+ с учетом спин-орбитального взаимодействия по схеме метода атомов в молекуле, что практически свелось к добавлению к диагональным элементам матрицы гамильтонiana небольших поправок, рассчитанных по эксперим. данным для атомов. Подробно обсуждены изменения потенциальных кривых при учете релятивистских поправок, закономерности изменения положений и глубины потенциальных ям, а также значения энергии диссоциации. Оценены интенсивности основных электронных переходов. Рассмотрены закономерности в спектрах указанных систем. Подчеркнута важность полученных результатов для развития лазерной техники.

В. И. Пупышев

СО
ИВНЬ
1987

1978



Кривые
потенциалов
энергии

(+) 2

A

Ф; 1978 №

9 Д 107. Электронные состояния Ar_2^+ , Kr_2^+ , Xe_2^+ . Ч. I. Кривые потенциальной энергии, рассчитанные с учетом и без учета спин-орбитальной связи. Wadt Willard R. The electronic states of Ar_2^+ , Kr_2^+ , Xe_2^+ . I. Potential curves with and without spin-orbit coupling. «J. Chem. Phys.», 1978, 68, № 2, 402—414 (англ.)

Методом конфигурац. взаимодействия с учетом и без учета спин-орбитального взаимодействия рассчитаны кривые потенц. энергии низких состояний молекул Ar_2^+ , Kr_2^+ и Xe_2^+ . Спин-орбитальное взаимодействие учитывалось методом атомов в молекулах. Рассчитанные энергии диссоциации основного I ($1/2$) состояния Ar_2^+ и Kr_2^+ отличались от эксперим. значения на 10%, для Xe_2^+ согласие оказалось несколько хуже и ошибка



составляла 20%. Оказалось, что глубина потенц. ямы уменьшается от 1,19 эв для Ag_2^+ до 0,79 эв для Xe_2^+ в основном из-за эффектов, связанных со спин-орбитальным взаимодействием, а рассчитанная длина связи возрастает от Ag_2^+ к Xe_2^+ вследствие увеличения размера атомов. Первое возбужденное $I(3/2)_g$ состояние для всех димеров обладает небольшой ямой при больших ($3\text{--}4 \text{ \AA}$) межатомных расстояниях. Более высоколежащие возбужденные состояния оказались все отталкивательными. В этой системе термов имеются три дипольно разрешенных перехода: переход $I(1/2)_u \rightarrow I(3/2)_g$ является очень слабым, интенсивность перехода $I(1/2)_u \rightarrow I(1/2)_g$ сильно возрастает в ряду $\text{Ag}_2^+ - \text{Xe}_2^+$ из-за спин-орбитальных эффектов, переход $I(1/2)_u \rightarrow II(1/2)_g$ является очень сильным с некоторым уменьшением интенсивности при переходе к более тяжелым димерам. Определены также максимумы сечений поглощения, которые в целом хорошо согласуются с экспериментальными.

А. Зембеков

1978

Ar_2^+
 Kr_2^+
 Xe_2^+
 K. B. Coker,
 J. A. E. Coker
 D. L. Coker
 +2

88: 112637m The electronic states of diatomic argon(+), diatomic krypton(+), diatomic xenon(+). I. Potential curves with and without spin-orbit coupling. Wadt, Willard R. (Los Alamos Sci. Lab., Univ. California, Los Alamos, N. Mex.). *J. Chem. Phys.* 1978, 68(2), 402-14 (Eng). The low-lying states of Ar_2^+ , Kr_2^+ , and Xe_2^+ were investigated using the POL CI method. Spin-orbit coupling was included with a simple atoms-in-mol. approach. The calcd. dissociation energies for the ground $I(1/2)$, states of Ar_2^+ and Kr_2^+ are in good agreement (10% error) with expt., while the agreement is slightly worse (20% error) for Xe_2^+ . The well depth decreased from 1.19 eV in Ar_2^+ to 0.79 eV in Xe_2^+ mainly because of spin-orbit effects. As expected, the calcd. bond distances increase from Ar_2^+ to Xe_2^+ as the atoms increase in size. The 1st excited state, $I(3/2)$, possesses a small well (0.13 eV) at larger distances (3-4 Å) in all the rare gas dimer ions. The higher excited states arising from the lowest asymptote are more repulsive. There are 3 dipole-allowed transitions from the ground state. The $I(1/2)_u \rightarrow I(3/2)_g$ transition, which occurs in the near IR, is very weak in accordance with propensity rules based on changes in Ω . The $I(1/2)_u \rightarrow I(1/2)_g$ transition occurs between 700-800 nm and grows dramatically in intensity from Ar_2^+ to Xe_2^+ because of spin-orbit effects. The predicted increase in intensity is in excellent agreement with expt. Finally, the $I(1/2)_u \rightarrow II(1/2)_g$

CA, 1978, 86, 111

transition is very strong with the intensity decreasing slightly for the heavier rare gas dimer ions. The absorption max. are predicted at 319, 339, and 375 nm for Ar_2^+ , Kr_2^+ , and Xe_2^+ , resp., which are to be compared with the exptl. values of 292 and 325 nm for Ar_2^+ and Kr_2^+ , resp. The theor. values for the peak absorption cross sections are in good agreement with expt. for Ar_2^+ and Kr_2^+ . Thus, although the calcd. wavelengths for the peak absorption are too long by 20-30 nm, the size and shape of the calcd. absorption bands should be in good agreement with expt. Finally, a comparison is made between the ab initio SCF potentials for the ${}^1\Sigma_g^+$ state of Ar_2 , Kr_2 , and Xe_2 with the potentials predicted by the electron gas model.

Ar_2^+

nomerus.
Kubáček

Osmuka 7765

1979

Jančák J; Talský et
Czechoslovak J Phys.
1979, B29 (3) 329 - 37

Ar_2^+

ArKr^+

Kr_2^+

KrXe^+

Xe_2^+

(A.P.)

④ ⑧

1979

91: 96997h Electron-impact ionization of diatomic argon, argon-krypton, diatomic krypton, krypton-xenon, and diatomic xenon. Helm, H.; Stephan, K.; Maerk, T. D. (Inst. Theor. Phys., Univ. Innsbruck, Innsbruck, Austria). *Phys. Rev. A* 1979, 19(6), 2154-60 (Eng). Relative cross sections for electron-impact ionization of the rare-gas van der Waals dimers Ar_2 , ArKr , Kr_2 KrXe , and Xe_2 were measured with a mass spectrometer in the electron energy range from threshold to 180 eV. The appearance potentials for direct ionization from the corresponding neutral dimers were (in eV) : Ar_2^+ (15.2 ± 0.2), ArKr^+ (14.0 ± 0.2), Kr_2^+ (13.45 ± 0.3), KrXe^+ (12.2 ± 0.2), and Xe_2^+ (11.75 ± 0.3). These values agree with those obtained in recent photoelectron studies. The appearance potential of Ar_2^+ formation via associative ionization of Ar atoms is 14.6 ± 0.2 eV.

O.A. 1979, 91, N12

Ar_2^+

1979

21. checkup

Michels H. H. et al
J. Chem. Phys., 1979, 41(12),
5053-62.

(e.g. Ne_2^+ ; III)

Ar_2^+

1979

Moseley J. T.

Proc. Int. Conf. Lasers 1978
(Pub. 1979), 207-14.

mono-
guccos.

coll. $O_2^+ - \text{III}$

Ar_2^+

ommunic 7881 1979

Radler K., et al

pomo-

monogesas,
nonepoxid
ceresace

J. Chem. Phys., 1979,
70 (1), 221-27

Ar_2^+

1979

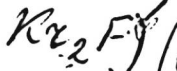
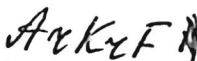
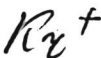
12 Д193. Предиссоциация колебательно возбужденных Ar_2^+ , образованных путем ассоциативной ионизации. Rose T. L., Katayama D. H., Welsh J. A., Paulson J. F. Photodissociation of vibrationally excited Ar_2^+ formed by associative ionization. «J. Chem. Phys.», 1979, 70, № 10, 4542—4551 (англ.)

диссоциация
определены сечения фотодиссоциа-

Ф. 164912

ции Ag_2^+ в ионном пучке при длинах волн 265—715 нм. Ионы Ag_2^+ получались путем ассоциативной ионизации в ионном источнике. Обнаружено, что сечение фотодиссоциации, которая происходит в результате фотовозбуждения Ag_2^+ с основного терма ${}^2\Sigma_u^+$ на отталкивательный ${}^2\Sigma_g^+$ -терм, зависит от условий в ионном источнике. При низких давлениях ($\sim 0,01$ мм рт. ст.) в ионном источнике сечение практически не менялось при изменении длины волны излучения и оставалось $\sim 10^{-17} \text{ см}^{-2}$. При увеличении давления до 0,1 мм рт. ст. наблюдался пик при $\lambda = 300$ нм. Изменение поведения сечения от λ при увеличении давления объясняется наличием столкновительной диссоциации и колебательной релаксации молекул в основном электронном состоянии. Расчет (с использованием имеющихся теоретич. сечений фотодиссоциации из каждого колебательного уровня основного электронного состояния) подтвердил наличие колебательной релаксации при больших давлениях, причем даже при давлении 0,1 мм рт. ст. распределение заселенностей колебательных уровней остается неравновесным. А. И. Шушин

1979



90: 212067f Ultraviolet absorption by diatomic rare gas ions in e-beam excited plasmas. West, John B.; Long, William H., Jr. (Northrop Res. Technol. Cent., Palos Verdes Peninsula, Calif.). *J. Chem. Phys.* 1979, 70(7), 3457-61 (Eng). Absorption was measured at 295 and 320 nm in electron-beam excited mixts. of Ar, Kr, and F. The absorbing species are identified as the diat. rare gas ions Ar_2^+ , ArKr^+ , and Kr_2^+ . By using kinetic models to calc. ion no. densities in the absence of F, absorption cross sections are detd. for these species. At 295 nm, they are $5.8 \times 10^{-17} \text{ cm}^2$ for Ar_2^+ , $1 \times 10^{-17} \text{ cm}^2$ for ArKr^+ , and $2.6 \times 10^{-17} \text{ cm}^2$ for Kr_2^+ . At 320 nm, the cross sections are $5.4 \times 10^{-17} \text{ cm}^2$, $2.5 \times 10^{-17} \text{ cm}^2$; and $3.1 \times 10^{-17} \text{ cm}^2$, resp. Errors of $\pm 18\%$ are estd. for these values. Absorption in mixts. contg. F is higher, and the presence of addnl. absorbing species is indicated. The most likely candidates are the triat. excimers Ar_2F , Kr_2F , and possibly ArKrF .

C.A. 1979, 90, 1226



(+3)

Hg_2^+

[Przemysłek 10819]

1980

Wadt W. R.

Recept.

Cooper, Inc.,
Chelmsford,
Mass.

J. Chem. Phys. 1980,
73, 3915 - 26.

● $(\text{Au Ne}_2^{\text{tag}})^{+}$

1981

5 Д57. Сравнение экспериментальных и теоретических потенциальных кривых для нижних состояний Ar_2^* . Comparison between experimentally and theoretically determined potential curves of the Ar_2^* lowest states. Castex M. C., Morglais M., Spiegelmann F., Malrieu J. P. «J. Chem. Phys.», 1981, 75, № 10, 5006—5018 (англ.)

м.н.,
расчет

Методом конфигурац. взаимодействия с использованием широкого базисного набора, пригодного для описания валентных и ридберговских состояний, рассчитаны кривые потенц. энергии эксимера Ar_2^* , сходящиеся к диссоциационному пределу $\text{Ar}^*(3p^54s) + \text{Ar}$. Особое внимание было удалено нижним 0_u^+ и 1_u^- состояниям на средних и больших расстояниях. В работе кроме теоретической имеется и эксперим. часть, в которой измерены спектры поглощения синхротронного излучения и температурная зависимость крыльев первых двух резонансных линий. Анализ формы этих крыльев в рамках

Ф. 1982, 18, N5.

квазистатич. теории, основанной на франк-кондоновском приближении, позволяет получить сведения о кривых потенц. энергии эксимера. Найдено, что в целом результаты расчета и эксперимента качественно согласуются, однако количеств. расхождение довольно заметное.

А. Зембеков

(ЕКУ)

H_2^+

1981

Christiaens P. A.,
et al.

pacem
romens.
yperaux.

J. Chem. Phys., 1981,
75, N 11, 5410-5415.

(cui. H_2 ; ii)

Ar_2^+

Omnicell 12901

1981

Collier F., et al.,

Фотохимия
исле,
ненефти-
сересе

J. Chem. Phys., 1981, 74(8),
4372 - 4379.

1981

6 Д546. Фотоионизация димеров Ag_2 . Photoioniza-
tion of the Ag_2 dimer. Dehmert R. M., Polia-
koff E. D. «Chem. Phys. Lett.», 1981, 77, № 2, 326-
330 (англ.)

Измерены относит. сечения фотоионизации димеров Ag_2 в спектральной области 820—860 Å с разрешением 0,30 Å. Димеры Ag_2 в конц-ии 0,3% получали при истечении Ag в вакуум через отверстие диаметром 5 мм при давл. 4 атм. В области у первого ионизационного порога Ag_2 на сечении фотоионизации наблюдается интенсивная автономная структура. Из-за сильного различия в равновесных межъядерных расстояниях Ag_2 и Ag_2^+ прямой фотоионизационный переход маловероятен. Определен потенциал появления ионов Ag_2^+ , равный $(856,5 \pm 1,5)$ Å. Оценено сни-
зу значение энергии диссоциации иона Ag_2^+ $(1,30 \pm 0,002$ эв). Библ. 18.

Ю. В. Чижов

Do 13.

Ag_2

фотоионизацией

д. 1981. № 6°

Ar_2^+

Lommel 12914

1981

Orth R., Gonkman H.T.,
et al.,

CHEMPS

J. Amer. Chem. Soc. 1981,
103, 6026-6030

Ar_2^+

1982

Dehmer P.L., Pratt S.T.

J. Chem. Phys., 1982, 77,
N10, 4804-4817.

D₀:

(c.c. Ar Kr; III)

Ar_2^+

1982

16 Б1180. Изучение фотоионизации Ar_2 при высоком разрешении. Dehmer P. M. Photoionization of Ar_2 at high resolution. «J. Chem. Phys.», 1982, 76, № 3, 1263—1272 (англ.)

На фотоионизац. квадрупольном масс-спектрометре, включающем высокоинтенсивную лампу, дающую континуумное излучение Не, с монохроматором и источник свободного (не ограниченного скиммером) сверхзвукового молек. пучка, при разрешении 0,07 Å измерены относит. сечения фотоионизации Ar_2 в области длин волн 800—850 Å. Спектр фотоионизации Ar_2 обнаруживает крайне сложную автоионизац. структуру близко расположенных полос, анализ к-рой проведен лишь частично. Процесс фотоионизации Ar_2 определяется автоионизацией молек. ридберговских состояний, а диффузность спектра обусловлена эффектами автоионизации и предиссоциации. Спектр мало похож на соотв-щий спектр атомов Ar, показывая тем самым, что молек. спектр

м.п.

(+)

X. 1982, 19, N 16. Ar_2

нельзя считать просто возмущенным атомным спектром, или же на спектр молек. поглощения при больших длинах волн. Регулярные, колебательные последовательности, обнаруживаемые при больших длинах волн, отсутствуют выше первого потенциала ионизации. Детальный спектроскопич. анализ удалось провести лишь для малой доли наблюдавшихся полос. Однако величина колебат. интервалов $50-100 \text{ см}^{-1}$ показывает, что часть ридберговских состояний сходится к возбужденному ионному состоянию Ag_2^+ ($B^2\Pi_{3/2g}$). Сравнение спектров поглощения и фотоионизации показывает, что наряду с автоионизацией протекают также процессы предиссоциации и диссоциативной ионизации.

В. Е. Скурат

ЯНИ.
РДУ



LIT. 13636

1982

7 Д523. Фотоионизация кластеров аргона. Photoionization of argon clusters. Dehmег R. M., Pratt S. T. «J. Chem. Phys.», 1982, 76, № 2, 843—853 (англ.)

помечено
подвешено

A.P.

С использованием сверхзвуковой струи получены кривые эффективности фотоионизации кластеров аргона в области от порога до 700 Å. Установлено, что за образование Ar_3^+ ответственны в основном процессы диссоциативной фотоионизации тяжелых кластеров, даже при условиях, когда интенсивность пика Ar_4^+ во много раз меньше интенсивности Ar_3^+ . В условиях отсутствия тяжелых кластеров в струе получена кривая эффективности фотоионизации с образованием Ar_3^+ . Несколько широких полос в спектре в области у порога сходны с полосами, наблюдаемыми в спектре фо-

(+3)

9.0. 1982, 18, № 7.

Ar_3^+

$\text{Ar}_4^+, \text{Ar}_5^+, \text{Ar}_6^+$

(A.P., Dc) \rightarrow Ar

тоионизации димеров аргона. Кривые эффективности фотоионизации с образованием $\text{Ar}_3^+ \div \text{Ar}_6^+$ при наличии в струе тяжелых кластеров сходны между собой. В этих спектрах наблюдаются два широких максимума, похожих на наблюдаемые в твердом аргоне. Кривые эффективности в области у порога очень пологи, что не позволяет точно определить потенциалы появления соответствующих ионов. Для потенциалов появления ионов Ar_2^+ и Ar_3^+ получены значения $(855,0 \pm 1,5) \text{\AA}$ и $(865,0 \pm 1,5) \text{\AA}$ соответственно, что дает значение энергии диссоциации Ar_3^+ , равное $(0,18 \pm 0,05)$ эв. Потенциалы появления тяжелых кластеров $\text{Ar}_4^+ \div \text{Ar}_6^+$ практически не отличаются друг от друга и равны $(870 \pm 2) \text{\AA}$. Библ. 80.

В. С. Иванов

Ar_2^+

1982

19 Б1153. Исследование свойств кластеров методом ионизации электронным ударом. Cluster properties studied by electron impact ionization. Märk T. D., Stephan K., Helm H., Furtell J. H., Märk J. H., Peterson K. I., Castleman A. W., Djuric N., Stamatovic A. «SASP'82: Symp. Atom. and Surface Phys., Maria Alm, Calzburg, 7—13 Febr., 1982. Contrib.» Innsbruck, s. a., 7—18 (англ.)

На установке, состоящей из формирователя сверхзвукового пучка, ионизац. камеры и масс-спектрометра с двойной фокусировкой, исследованы кластеры инертных газов и малоатомных молекул. Измерены кривые эффективности ионизации (КЭИ) электронами атомных кластеров Ar_2^+ , ArKr , Kr_2 , KrXe , Xe_2 для энергий элек-

кривые
эффективности
ионизации

(4) 

X.1984, 19, N 19

тронов от порога до 180 эВ. Установлено, что КЭИ кластеров подобны КЭИ мономеров, а сечения ионизации аддитивны. Измерены Пт появления кластеров из CO_2 , ArCO_2 , NH_3 , N_2 и ArN_2 . Зарегистрированы долгоживущие кластеры ArXe^{2+} и NeKr^{2+} и определены их энергии рекомбинации. Исследован метастабильный и активированный столкновениями распад кластеров $(\text{NH}_3)_n^+$ ($n=1-3$), $\text{H}^+(\text{NH}_3)_m$ ($m=1-3$) и $(\text{CO}_2)_2^+$. Выявлен доминирующий канал для кластеров каждого типа.

Е. Н. Николаев

Ar_2^+

1983

Marchenko V. S.

Zh. Eksp. Teor. Fiz.

6 гуссона. 1983, 85(2), 500-10.

(ав. He_2^+ ; $\overset{\bullet}{\text{III}}$)

Ar_2^+

1983

10 Б1121. Метастабильная и индуцированная столкновениями фрагментация небольших кластерных ионов: Ar_2^+ , Ar_3^+ , ArN_2^+ и N_4^+ . Metastable and collision induced fragmentation of some small cluster ions: Ar_2^+ , Ar_3^+ , ArN_2^+ and N_4^+ . Illies Andreas J., Bowers Michael T. «Org. Mass. Spectrom.», 1983, 18, № 12, 553—560 (англ.)

На масс-спектрометре с двойной фокусировкой и обращенной геометрией, снабженном комбинированным ионным источником ВД (ионизация электронным ударом и хим. ионизация, энергия электронов 250 эВ, давл. 0,01—0,10 Торр, т-ра 160 K), исследована индуцированная столкновениями фрагментация ионов-продуктов ионно-молекул-ионов Ar_2^+ , Ar_3^+ , ArN_2^+ и N_4^+ и проанализированы распределения кинетич. энергий фрагментных ионов, а также зависимости их интенсивностей от давления газа (He) в камере столкновений. Ни для одного из перечисленных исходных ионов метастабильные рас-

(13) 17

X. 1984, 19, N 10

пады не обнаружены. Из анализа распределений кинетич. энергий фрагментных ионов и сопоставления их с результатами расчетов потенциальных кривых исходных ионов сделаны выводы о возможных путях фрагментации (имеется несколько таких путей для каждого из фрагментных ионов).
Д. В. Чеховской

Ar_2^+

1983

Pitzer K. S.

Relativistic Eff. Atoms,
Mol., and Solids. Proc.

NATO Adv. Study Inst., Van-
couver, 10-21 Aug., 1981. New
York; London, 1983, 403-
-420.

(c.w. F_2 ; $\bar{II}I$)

Perrière
et al.

A_{32}^+

[Am. 18189]

1983

Stephan K. Stamatovic A.,
et al.;

Wegenerovský
gucciovanus.

Phys. Rev. A: Gen. Phys.
1983, 28, N 5, 3105-3108

Ar_2^+

1984

Шүркүс А.А., Ракаукас
Р. И. и гр.

Шаянск. 20с. нег. УН-т.
Шаян, 1984. 11с. биделор.
♀ №0136. (Рукопись деп. в НИИ
НИИТИ 28 марта 1984г.,
N 1213 НУ-84 Ден.)

(c.c.s. He_2F^+ ; III)

и. н.

1984

Ar₂

101: 45582m Theoretical calculations in $\Lambda-\Sigma$ coupling of the electronic spectrum of dimeric argon (Ar₂) and krypton (Kr₂) excimers correlated to the np⁵(n + 1)s and np⁵(n + 1)p atomic configurations. Spiegelmann, F.; Gadea, F. X. (Lab. Phys. Quant., Univ. Paul-Sabatier, 31062 Toulouse, Fr.). *J. Phys. (Les Ulis, Fr.)* 1984, 45(6), 1003-23 (Fr). Adiabatic potential curves for Ar(3p⁶ 1S₀) + Ar^{*} (3p⁵ 4s, 3p⁵ 4p) and Kr (4p⁶ 1S₀) + Kr^{*} (4p⁵ 5s, 4p⁵ 5p) were detd. in the Λ representation, from ab initio CI calcns. by using nonempirical pseudopotentials and extensive orbital basis sets. Avoided crossings with states correlated to higher excited configurations, e.g. 5s, 5p, and 3d for Ar₂^{*} and 6s, 6p, and 4d for Kr₂^{*} were also taken into account. The structure of the electronic spectrum of both excimers is interpreted; analyzing the nature of the Rydberg MO's and the multiconfigurational wave functions makes possible the understanding of the character of avoided crossing between Rydberg states of homonuclear rare gases.

H. CLEMM

NOMENCL.

KRUEGER

c.A.1984, 101, N 6

Kr₂



Ar_2^+

1985

8 Б1164. Метод связанных уравнений для многофотонных процессов в молекулах. 2. Когерентное-антистоксово комбинационное рассеяние континуумом в двухатомных молекулах: слабые и сильные поля. Coupled equations approach to multiphoton processes in molecules. 2. Coherent anti-stokes Raman scattering by a continuum in diatomics: weak and strong fields. Badgryk A. D., Giroux M., Turcotte G. «J. Phys. Chem.», 1985, № 21, 4473—4479 (англ.)

Методом связанных ур-ний рассчитаны спектры КАРС молекулы Ar_2^+ для различных интенсивностей лазерного излучения. Изучена природа резонансных состояний, induцированных лазерным излучением, и рассмотрена их роль в процессе прямой фотодиссоциации. Обсуждены перспективы использования спектров КАРС для изучения св-в молек. состояний в присутствии излучения.

В. Б. Павлов-Веревкин

спектры
КАРС, расчет

Х. 1986, 19, № 8

Ag_2^+

1985

2 Д332. Метастабильная диссоциация ионов Ag_2^+ , образованных при ассоциативной ионизации. Metastable dissociation of Ag_2^+ produced by associative ionization. Stephan K., Märk T. D. «Phys. Rev. A: Gen. Phys.», 1985, 32, № 3, 1447—1450 (англ.)

Исследована метастабильная диссоциация ионов Ag_2^+ , образованных при ассоциативной ионизации: $\text{Ag} + e \rightarrow \text{Ag}^* + e$, $\text{Ag}^* + \text{Ag} \rightarrow \text{Ag}_2^+ + e$. Обнаружено, что при энергиях электронов 20—70 эВ число метастабильных переходов возрастает с энергией электронов и становится больше, чем число метастабильных переходов, наблюдаемых для Ag^{2+} , образованных при электронной ионизации нейтральных Ag-кластеров; $\text{Ag}_n + e \rightarrow \text{Ag}_2^+ + \text{Ag}_{n-2} + 2e$. Метастабильная фрагментация ионов Ag_2^+ исследовалась на масс-спектрометре с двойной фокусировкой. Найдено, что число метастабильных переходов, наблюдаемых за время измерений (3,1—7,9 мкс после образования иона), возрастает с возрастанием энергии электронов в ионном источнике и в ~ 100 раз.

Метастабильная
диссоциация

сф. 1986, 18, № 2

больше, чем число метастабильных переходов, ранее наблюдавшихся для Ag_2^+ , образованных при электронной ионизации Ag_2 . Представлены возможные пути диссоциации, согласующиеся с неэмпирическими потенциальными диаграммами.

Н. В. В.



Ar_2

1986

Sauerbrey R.

Eizerhöfer H., et al.

J. Phys. B: Atom. and
Mol. Phys., 1986,

Mol. Phys., 1986, 19,

N 18, 2279-2289.

(see Ne_2 , II)

f2

1984

№ 8 Д49. Уточненный анализ спектра Аг III. A revised analysis of the spectrum of Ag III. Hansen Jørgen E., Persson Willy. «J. Phys. B: Atom. and Mol. Phys.», 1987, 20, № 4, 693—706 (англ.)

Приведена подробная табличная информация об энергиях уровней, соответствующих $3s^23p^4$, $3s3p^5$, $3s^03p^6$, $3s^23p^3$ ($4s$, $4p$, $3d$) — конфигурациям Аг III, идентифицированных по данным эксперим. наблюдений и среднеквадратичным параметрич. интерполяциям. Особое внимание удалено эффекту наложения конфигураций в спектрах ионов Аг III. Для этой цели в таблицах статьи наряду со значениями энергий уровней приведены статистич. веса конфигураций, вклад которых превышает 1%. Отдельно выделены синглетные термы, представляющие практический интерес для спектроскопии оже-переходов.

В. Г. Пальчиков

сб. 1984, 18, № 8

Ar_2^+

1987

MacDonald R. F., et al.,

Chem. Phys. lett.,

1987, 140, N 5, 476-482.

M.N.

(all.



Ar_2 ; II)

Ar_2^+

1988

Levinger N. E., Ray D.
et al.

M.N.

J. Chem. Phys. 1988,
89, N 1. C. 71-74.

(\bullet Ar_3^+ ; III)

Ar_2^+

1989

(9)

110: 84686d Photoelectron spectroscopy of small argon clusters using an electron-ion coincidence measurement. Mitsuke, Koichiro; Ohno, Koichi. (Coll. Arts Sci., Univ. Tokyo, Tokyo, Japan 153). *J. Phys. Chem.* 1989, 93(2), 501-3 (Eng). UPS of neutral Ar_n ($2 \leq n \leq 4$) clusters were obtained by using PEPICO. The vertical ionization potentials are reported for 6 ionic states of Ar_2^+ ($\text{A}^2\Sigma_{1/2u}^+$, $\text{B}^2\Pi_{3/2g}$, $\text{C}^2\Pi_{3/2u}$, $\text{B}^2\Pi_{1/2g}$, $\text{C}^2\Pi_{1/2u}$, and $\text{D}^2\Sigma_{1/2g}^+$). The PEPICO spectrum of Ar_3 showed 2 broad bands resulting from vertical transitions to the $^2\text{E}'$ and $^2\text{A}_2'$ states of Ar_3^+ in equilateral triangular geometry. Presumably the ionic ground state, $\text{Ar}_3^+({}^2\text{E}')$, does not dissociate exclusively as the other excited states of Ar_3^+ .

C.A. 1989, 110, n10

Ar_2^+ 1989
Norwood K., Geo J.H.
et al.

(γ) J. Chem. Phys. 1989,
90(6), 2998-3003.

(αii. Arn; ii)

Ar_2^+ Avistendari Georg, 1990
Jaastad Ole W. et al.

Kleppa, Int. J. Mass Spectrom.
Chen, and Ion Process, 1990, 98,
Ap; N2. C. 167-177.

meop:
racem

(ca.  ArH⁺; III)

Ar_2^+

[Mn 34659]

1990

Whitaker B.J., Wood-
ward C.A., et al.,

J. Chem. Phys. 1990,
93, N 1, 376-383

On the origin of metastable

decay in A_{22}^+

1991

20 Б1236. Колебательная структура основного состояния Ar_2^+ по данным метода пороговых фотоэлектрон-ионных совпадений. Vibrational structure of the ground state of Ar_2^+ by the threshold photoelectron-ion coincidence technique / Morioka Y., Ogawa M., Matsumoto T., Ito K., Tanaka K., Hayaishi T. // J. Phys. B — 1991. — 24, № 4. — С. 791—795. — Англ.

Методом пороговых фотоэлектрон-ионных совпадений исследован процесс ионизации молекул Ar_2 в сверхзвуковом пучке под действием излучения синхротронного источника (79,0—85,5 нм). Из анализа наблюдаемой колебат. структуры перехода $\text{Ar}_2^+ (v=3—17, 25—29) \text{Ar}_2$ определены энергии колебат. термов основного электронного состояния иона, $E(v)=116432(\pm 18)+317,2(\pm 1,6)(v+1/2)-2,5(\pm 0,3)(v+1/2)^2 \text{ см}^{-1}$ (относительно уровня $v=0$ основного электронного состояния Ar_2).

В. М. Ковба

X. 1991, № 20

1991

Ar₂ +
9 Д88. Колебательная структура основного состояния Ar₂⁺, полученная с помощью техники совпадений пороговый фотоэлектрон—ион. Vibrational structure of the ground state of Ar₂⁺ by the threshold photoelectron-ion coincidence technique / Morioka Y., Ogawa M., Matsumoto T., Ito K., Tanaka K., Hayaishi T. // J. Phys. B.— 1991.— 24, № 4.— С. 791—795.— Англ.

Впервые экспериментально изучены колебательные уровни Ar₂⁺. В качестве источника света применялось синхротронное излучение в диапазоне 790—855 Å. Анализ пороговых электронов проводился комбинацией стерадиационного и электрич. анализаторов. Ионы Ar⁺ и Ar₂⁺ разделялись по времяпролетному методу. Кластеры Ar₂ получались в газодинамическом молекулярном лучке. Энергии ионных состояний Ar₂⁺ (в см⁻¹) определяются ф-лой: $E = 116432 + 317,2(v + 1/2) - 2,5(v + 1/2)^2$. Энергия отсчитывается от нулевого колебательного уровня Ar₂. Приводится сравнение с имеющимися данными других авторов.

Г. К.

cf. 1991, № 9

1991

114: 195447d Vibrational structure of the ground state of the argon diatomic monopositive ion by the threshold photoelectron-ion coincidence technique. Morioka, Y.; Ogawa, M.; Matsumoto, T.; Ito, K.; Tanaka, K.; Hayashi, T. (Inst. Phys., Univ. Tsukuba, Tsukuba, Japan 305). *J. Phys. B: At., Mol. Opt. Phys.* 1991, 24(4),

791-5 (Eng). The coincidence between threshold electrons and ions from Ar₂ was taken to sep. the monomer ions and the dimer ions between 790 and 855 Å using synchrotron radiation as a light source. The vibrational structure of the ground state of the Ar₂⁺ ion was clearly obsd. The energy of the Ar₂⁺ ionic state is detd. to be 116432 + 317.2(v + 1/2) - 2.5(v + 1/2)²(cm⁻¹) from the zero vibrational state of Ar₂.

RDR/AM
20 CMW/H
3 OCT 1991
COCMO:RLL

c. A. 1991, 114, N 20

A_2^{2+}
 A_2

1991

ab initio,
ROMERUS KRIB.
M.N.

116: 9445Su Radiative decay of the argon diatomic ion(2+) (Ar_2^{2+}) excimer: an ab initio study. Zaitsevskii, A. V.; Dement'ev, A. I. (Chem. Dep., Moscow State Univ., 119899 Moscow, USSR). *Opt. Commun.* 1991, 86(6), 461-4 (Eng). The radiative decay of bound excited charge-transfer electronic states of Ar_2^{2+} was studied via ab initio effective operator QDPT calcs. of potential energy and transition dipole moment curves. The assignment of the third continuum in the emission spectrum of the Ar plasma to bound-repulsive transitions of Ar_2^{2+} is supported.

C.A. 1992, 116, N 10

Ar_2^{2+}

1992

✓ 116: 242281y Theoretical study of the electronic structure of the argon diatomic dipositive ion. Cachoncinlle, C.; Pouvesle, J. M.; Durand, G.; Spiegelmann, F. (GREMI, Univ. Orleans, 45067 Orleans, Fr.). *J. Chem. Phys.* 1992, 96(8), 6085-92 (Eng). The electronic states of the ionic excimer Ar_2^{2+} are calcd. using ab initio multireference CI and effective core pseudopotentials. Among states dissociating into $\text{Ar}^+(^2P) + \text{Ar}^+(^2P)$, all are found to be repulsive, except the ground state, which occurs to be quasibound near $R_0 = 4.1a_0$ with a well depth of $\geq 230 \text{ cm}^{-1}$. All states originating from $\text{Ar}^{2+}(^3P, ^1D, ^1S) + \text{Ar}$ are bound with dissociation energies in the range 3200-4500 cm^{-1} and equil. distances between $5.6a_0$ and $6a_0$. Simulation emission spectra from bound excited states are derived from the calcd. potentials and the possible contribution of the Ar_2^{2+} ion to the third continuum fluorescence is discussed.

M. COOM.,
M. DPP. parvenu
Do, re

C.A. 1992, 116, n24

1992

10Д143. Теоретическое исследование электронного строения Ar_2^{++} . Theoretical study of the electronic structure of Ar_2^{++} / Cachoncinile C., Pouvesle J. M., Durand G., Spiegelmann F. // J. Chem. Phys.. — 1992. — 96, № 8. — С. 6085—6092. — Англ.

Неэмпирическим методом ССП МО ЛКАО с учетом корреляции электронов методами конфигурационного взаимодействия и полного активного пространства в базисе гауссовых ф-ций $7s7p2d/5s5p2d$ с использованием псевдопотенциала исследовано электронное строение эксимера Ar_2^{2+} (I) в 24 состояниях, диссоциирующих по разным каналам. Обнаружено, что среди состояний, диссоциирующих на $2\text{Ar}^+(^2P)$, все отталкивательные, кроме основного, являющегося квазисвязанным при длине связи R около 4,1 ат. ед. и глубине потенциальной ямы не менее 230 см^{-1} . Состояния, полученные из $\text{Ar}^{2+}(^3P, ^1D, ^1S) + \text{Ar}$, являются связанными с энергиями диссоциации в диапазоне $3200—4500 \text{ см}^{-1}$ и $R=5,6—6,0$ ат. ед. Проведено моделирование эмиссионных спектров связанных возбужденных состояний и обсужден вклад I во флуоресценцию.

1993, № 10

1992

№ 8 Б1017. Теоретическое исследование электронной структуры Ar_2^{2+} . Theoretical study of the electronic structure of Ar_2^{2+} /Cachoncinlle C., Pouvesle J. M., Durand G., Spiegelmann F. //J. Chem. Phys.—1992.—96 № 8.—С. 6085—6092.—Англ.

Рассчитаны потенциальные кривые дикатиона Ar_2^{2+} , коррелирующие с диссоциацией пределами $\text{Ar}^+(3p^5, ^2P) + \text{Ar}^+(3p^5, ^2P)$, $\text{Ar}^{2+}(3p^4, ^3P) + \text{Ar}(^1S)$, $\text{Ar}^{2+}(3p^4, ^1D) + \text{Ar}(^1S)$, $\text{Ar}^{2+}(3p^4, ^1S) + \text{Ar}(^1S)$. Использованы многоконфигурац. приближения для волновых ф-ций с псевдопотенциальным представлением остовных электронов. Найдено, что состояния, диссоциирующие на $\text{Ar}^+ + \text{Ar}^+$, являются отталкивающими, за исключением основного состояния $^1\Sigma_g^+$, для к-рого получен минимум при R_e вблизи 4,1 ат. ед. глубиной 230 см^{-1} , отделенный барьером от диссоциаций предела. Все состояния, диссоциирующие на $\text{Ar}^{2+} + \text{Ar}$, являются связанными с энергиями связи в области $3200—4500 \text{ см}^{-1}$ и равновесными межъядер-

номин.
Уильям,
Мэр. Гаскин

X. 1993, N 8.

ными расстояниями от 5,6 до 6,0 ат. ед. Отмечено, что переходы из связанных состояний Ag_2^{2+} в отталкиват. могут приводить к флуоресценции в области 183—200 нм, частично совпадающей с исследованной эксперимен-
тально. Библ. 53.

А. В. Немухин



1992

8 Б1018. Теоретическое исследование ридберговых возбужденных электронных состояний Ar_2^+ . Theoretical study of the Rydberg excited electronic states of Ar_2^+ / Ca-choncinlle G., Pouvesle J. M., Durand G., Spiegelmann F. // J. Chem. Phys. —1992 .—96 , № 8 .—С. 6093—6103 .—Англ.

Рассчитаны потенциальные кривые возбужденных состояний молек. катиона Ar_2^+ коррелирующие с диссоциацией пределами $\text{Ar}^+(3p^5, ^2P) + \text{Ar}(3p^54s, ^3, ^1P)$. Использованы многооконфигурац. приближения для волновых ф-ций с псевдопотенциальным представлением остевых электронов. Базисные наборы для описания валентных МО содержат ф-ции $(7s7p2d)/[5s5p2d]$. Проанализированы вклады в энергию вз-вия на больших и малых межъядерных расстояниях. Отмечено, что при малых расстояниях электронная структура катиона м. б. представлена рид-

Х. 1993, N 8

берговыми сериями электрона в поле остова Ar^{2+} . Для связанных состояний приведены вычисленные молек. постоянные. Совместно с результатами расчетов дикатиона (см. пред. реф.) полученные данные использованы для интерпретации эксперим. спектра флуоресценции, однако сформулировать однозначные заключения о природе спектра оказалось невозможным. А. В. Немухин

1992

10Д144. Теоретическое исследование ридберговских электронных возбужденных состояний Ar_2^+ . Theoretical study of the Rydberg excited electronic states of Ar_2^+ / Cachoncinlle G., Pouvesle J. M., Durand G., Spiegelmann F. // J. Chem. Phys.. — 1992. — 96, № 8. — С. 6093—6103.
— Англ.

Неэмпирическим методом ССП МО ЛКАО с учетом корреляции электронов в тех же приближениях, что и в пред. работе (см. пред. реф.), исследовано электронное строение A_2^+ в первых ридберговских состояниях (РС), диссоциирующих на $\text{Ar}^+(3p^5, ^2P) + \text{Ar}^*(3p^54s, ^3P)$, а также в некоторых валентных состояниях. Обнаружено, что некоторые РС являются связанными или квазисвязанными на коротких расстояниях около 4,0 ат. ед. Они характеризуются островом Ar^{2+} в основном состоянии и внешним ридберговским электроном, частично экранирующим кулоновское отталкивание, что, видимо, обеспечивает ква-

Ф 1993, N 10

зисвязанный характер ридберговского состояния. На больших расстояниях электронное строение РС определяется резонансным взаимодействием и величиной ридберговского интеграла переноса электрона, что приводит к энергиям диссоциации 0,6—0,8 эВ при расстояниях около 9,0 ат. ед. Проведено моделирование спектров флуоресценции этих состояний.

эле.

1992

116: 242149m Theoretical study of the Rydberg excited electronic states of the argon diatomic monopositive ion. Cachoneinille, G.; Pouvesle, J. M.; Durand, G.; Spiegelmann, F. (GREMI, Univ. Orleans, 45067 Orleans, Fr.). *J. Chem. Phys.* 1992, 96(8), 6093-103 (Eng). The first Rydberg states of the Ar_2^+ mol. ion dissociate into $\text{Ar}^+(3p^5, ^2P) + \text{Ar}^+(3p^54s, ^3P)$ are calcd. using multireference CI and effective core pseudopotentials. At long internuclear distance, their electronic structure is shown to be detd. by resonance interaction and the magnitude of the Rydberg electron-transfer integral, inducing long-distance wells with D_e in the range 0.6-0.8 eV around $R_e \approx 9.0\text{\AA}$. In the short distance range, the electronic structure can be understood as resulting from an ionic Ar^{++} core with an outer Rydberg electron, and bound or quasibound Rydberg states are obtained around $R_e \sim 4\text{\AA}$. The fluorescence spectra of those states are simulated and the possible intervention of the Ar_2^+ system in the third continuum spectrum is considered.

Puglisi-Corma et al.

C.A. 1992, 116, N24

Ar_2^+

Cap. 4 ? Jun 1992
OM 37091

We

118: 89978a Threshold photoelectron and TOF photoelectron spectra of the argon and krypton diatomic monopositive ions. Morioka, Y.; Masuda, H.; Lu, Y.; Tanaka, K.; Hayaishi, T. (Inst. Phys., Univ. Tsukuba, Tsukuba City, Japan 305). *J. Phys. B: At., Mol. Opt. Phys.* 1992, 25(24), 5343-52 (Eng). The threshold electron spectra of Ar_2 and Kr_2 were measured using synchrotron radiation. The vibrational structures of the ground states of Ar_2^+ and Kr_2^+ ions were obsd. The present results for the Ar_2^+ ionic state confirmed the previous ones. For the Kr_2 ionic state, the vibrational wpm values are $(103,695 \pm 8) + (188 \pm 1) \times (v + 1/2) - (0.9 \pm 0.03)(v + 1/2)^2$ (cm^{-1}) from the zero vibrational state of Kr_2 . The time-of-flight photoelectron spectra of Ar_2 and Kr_2 were measured at several wavelengths of autoionizing states of Ar_2 and Kr_2 , using pulsed photons from a synchrotron. In the photoelectron spectra, several vibrational levels were recognized to support the vibrational anal. of the threshold electron spectra.

④ ⑦

C.A. 1993, 118, N10



Kr_2^+

Ar_2^{2+}

1993

119: 15500n A CI study of the quasibound argon diatomic dipositive ion. Ackermann, J.; Hogreve, H. (Konrad-Zuse-Zent. Berlin, W-1000 Berlin, 31 Germany). *Chem. Phys. Lett.* 1993, 202(1-2), 23-32 (Eng). The potential energy curve of the electronic ground state ${}^1\Sigma_g^+$ of the mol. system Ar_2^{2+} is investigated by CI calcns. employing large Gaussian basis sets. The dication is found to be quasi-bound due to a local min. of the potential energy current at $R_0 = 2.05\text{\AA}$ and a resulting (local) well sufficiently deep to support a series of vibronic resonance levels. The lifetime of the lowest of these resonances is long enough to render Ar_2^{2+} practically stable.

$X^1\Sigma_g^+$, no energy
g-lil,
no rem.
pacem

C-A. 1993, 119, N2

Br₂ dt

OMM. 37270

1993

Daskalopoulou M.,
Peyserimhoff J. D.,

Measurement.

Comments,

Neop. gaéret Mol. Phys., 1993, 79, N5,

985-994

Ar_2^+

1993

Олешник. И. И.,
Кузнецов. Н. И.

Хим. журн. 1993. 12,

и. н.

№ 10. с. 1339 - 1358.

(см. Ar_2 ; III)

$A_2 +$

1994

121: 190180w Infrared vibrational photodissociation spectra of Ar_2^+ ions. Duffy, Liam M.; Feinberg, Thomas N.; Baer, Tomas (Chem. Dep., Univ. North Carolina, Chapel Hill, NC 27599-3290 USA). *J. Chem. Phys.* 1994, 101(4), 2793-9 (Eng). The IR photodissocn. spectra of Ar dimer ions have been obtained at several wavelengths with a line tunable CO₂ laser. The dimer ions were produced by high energy electron impact ionization near or at the nozzle orifice of a supersonic expansion. When the electron beam is focused several millimeters from the nozzle, and the laser polarization is parallel to the dimer ion beam, the product Ar⁺ kinetic energy spectra exhibit structure, with a spacing of 117 cm⁻¹. However, when the ions are produced by focusing the electron beam directly onto the nozzle, the structure largely disappears. Anal. of the results indicates that the transition is a bound to continuum transition, and that the obsd. spacing is assocd. with vibrational levels of the first excited $\text{Ar}_2^+ \text{ I}(3/2)g$ state.

(lk cremp)

C.A. 1994, 121, N 16

Ar_2Ar^+

1995

López G. E.

et al., J. Compet. Chem.

Do 1995, 16, N.G.C. 758 -
767.

(\bullet ccc. HeHe^+ ; iii)

1996

Ar₂
2
Pugelpr.
Cupidhaw

125: 233209q A pseudopotential hole-particle treatment of neutral rare gas excimer systems. II. The Rydberg states of the Ar₂⁺ dimer. Duplaa, P.; Spiegelmann, F. (Lab. Phys. quantique, Univ. Paul Sabatier, F31462 Toulouse, Fr.). *J. Chem. Phys.* 1996, 105(4), 1500-1515 (Eng). A pseudopotential hole-particle model (corresponding to the formalism introduced in paper I) is applied to the detn. of the Rydberg states of the Ar₂⁺ excimer with and without spin-orbit coupling. All the Δ-Σ Rydberg states (without spin-orbit coupling) adiabatically dissociate into Ar + Ar⁺ (4s, 4p, 3d, 5s, 5p, 4d), are studied and all Ω states adiabatically dissociate into Ar + Ar⁺ (4s, 4p) were detd. including spin-orbit coupling. The calcn. also includes at short distance attractive mol. configurations diabatically correlated with higher at. asymptotes. The nature of the Λ-Σ states is analyzed and assigned with ref. to the Rydberg orbitals of the Kr⁺ united atom limit. Extensive comparison with previous calcns. and expts. is carried on. For the lowest ungerade states (1)1_u, 0_u⁻, (1)0_u⁺, and (2)0_u⁺, good quant. agreement is found with exptl. high resoln. studies. Several members of Rydberg series are calcd. and assigned, yielding intra-Rydberg transition energies (1)³Σ_u⁺((1)1_u, 0_u⁻) → m ³Π_g or m ³Σ_g⁺ in good correspondence with recent intra-Rydberg spectroscopy expts. In particular the present calcn. provides a likely interpretation of the IR spectra of Ar₂⁺ as due to (1)³Σ_u⁺ → (1)³Σ_g⁺ transitions with an upper corresponding Ω state (1)1_g, 0_g⁻ contg. quasi-bound vibrational levels.

CA 1996, 125, w18

Ar_2^+

1996

ab initio
pacem
M.N.

125: 309473u Ab initio calculations for Ar_2^+ , He_2^+ , and He_3^+ , of interest for the modeling of ionic rare gas clusters. Gadea, Florent Xavier; Paidarova, Ivana (Laboratoire de Physique Quantique, IRSAMC, Universite Paul Sabatier, 118 route de Narbonne, F-31062 Toulouse, Fr.). *Chem. Phys.* 1996, 209(2,3), 281-290 (Eng). Large CI ab-initio calcns. are performed for Ar_2^+ , He_2^+ , and He_3^+ . For both ionic dimers a complete set of accurate data is detd., including the various electronic states and the transition moments to be used for spectroscopic studies and for modeling larger ionic rare gas clusters. Spectroscopic consts. for Ar_2^+ are in remarkable agreement with the exptl. results. The study for He_3^+ confirms the failure of the minimal DIM model for helium ions.

C.A. 1996, 125, N 24

Ar_2^+

1996

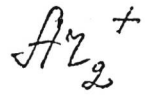
24Б153. Неэмпирический расчет Ar_2^+ , He_2^+ и He_3^+ , представляющий интерес для моделирования ионных кластеров инертных газов. Ab initio calculations for Ar_2^+ , He_2^+ and He_3^+ , of interest for the modelling of ionic rare-gas clusters / Gadea Florent Xavier, Paidarová Ivana // Chem. Phys.— 1996.— 209, № 2-3.— С. 281-290.— Англ.

М.Н.

(62)



Х. 1997, НДУ



1997

Archirel P.

(Энергия
связи) Chem. Phys. 1997, 221
(3), 237-252.

метр.
расчет



(ал. He_2^+ ; III)

1997

128: 81454n Spectroscopic properties of the $\text{Ar}_2^*(5p)$ excimer states. Kunz, T.; Neeser, S.; Langhoff, H. (Physikalisches Institut der Universität Würzburg, D-97074 Würzburg, Germany). *Z. Phys. D: At., Mol. Clusters* 1997, 42(2), 101–104 (Eng), Springer-Verlag. The transitions between $\text{Ar}_2^*(5p)$ and $\text{Ar}_2^*(4s\Sigma_u)$ have been studied by absorption spectrometry. The fine structure of the $\text{Ar}_2^*(5p^3_g)$ was attributed to a predominantly Hund's case a coupling. A spin-orbit coupling constant of $A = (9.8 \pm 0.3) \text{ cm}^{-1}$ results. Absorption by the singlet system allows one to determine the triplet/singlet splitting between the $\text{Ar}_2^*(4s\Sigma_u)$ states to be $(540 \pm 100) \text{ cm}^{-1}$. The transition probabilities of the $\text{Ar}_2^*(5p)$ and $\text{Ar}_2^*(6p)$ levels were determined by saturation spectrometry yielding values between $(0.2-2.5) \times 10^6 \text{ s}^{-1}$.

CNETN/P

C.A. 1998, 128, N7

N_2^+

1998

Chen, Edward C.M.; et al.,

Chen. Phys. Lett. 1998,

(D_0, D_0, r_e) 293(5,6), 491-498.

(all. N_2^+ ;  \underline{III})